

偏导张量模型： 一种结构性演化的统一描述框架

*The Bias Tensor Model: A Unified Framework for
Structurally-Guided Evolution*

作者：傅杰敏

日期：2025. 4. 11

目录

目录	2
第一章 绪论	3
第二章 偏导张量模型的理论基础与结构映射	4
2.1 偏导张量的基本假设与结构定义	4
2.2 状态演化方程中的偏导流项	4
2.3 与主流理论的结构映射表	5
2.4 图示建议与结构流可视化	6
2.5 小结	7
第三章 跨领域验证路径详解	8
3.1 热力学方向：结构性偏导下的熵增路径偏向性	8
3.2 信息学方向：VAE 结构中偏导张量约束的语义压缩效应	10
3.3 物理方向：路径积分结构偏导修正与干涉图样非对称性	12
第四章 图示与结构表达模块	14
第五章 结论与未来展望	21
一、附录 A：术语与符号解释	22
附录 B：参考文献	24

第一章 绪论

当代科学技术正在逐步走向交叉融合，许多原本被割裂的理论体系正面临重新整合的需求。在物理学中，热力学的不可逆性、量子力学的路径叠加与相干破缺、相对论的时空曲率描述，都揭示出系统演化过程中存在某种“结构性偏向”的趋势。在信息科学中，语义压缩、注意力机制与聚类分布的偏移，同样体现出“路径选择”的非均匀性。这些现象虽然分布于不同领域，但似乎都指向一种更底层的结构张力机制。

然而，目前尚无统一模型能对这些“演化路径偏向性”给出跨领域的数学表达与实验预测框架。传统模型多依赖外部力场、热源、概率场等设定，而忽略了系统内部结构本身的“导引效应”可能构成演化机制的一部分。

本文提出一种新的理论框架：偏导张量模型（Bias Tensor Model, BTM）。该模型基于如下核心假设：系统的演化路径不仅由能量最小化或熵增趋势决定，还受到结构内部存在的偏导张量场所引导。这些张量场本质上是一类高阶结构导引流，能够描述系统在多维状态空间中偏向某些通道、自反馈地调整路径倾向性，最终形成不可逆、非均匀、语义压缩性演化轨迹。

本论文将从张量场与结构势函数的数学定义出发，提出偏导张量的表达式及其引导的演化方程，尝试将其嵌入热力学、信息学与物理学的经典理论框架中，并通过构建三大验证路径、六张结构图示与若干实验设计，探讨该理论的可证性与应用前景。

最终目标是建立一个跨学科、具备演化解释力与工程可落地性的结构性理论体系，为理解自然系统、信息系统乃至意识系统的动态演化提供一种统一的偏导视角。

第二章 偏导张量模型的理论基础与结构映射

2.1 偏导张量的基本假设与结构定义

偏导张量模型（Bias Tensor Model, BTM）提出如下核心假设：

- 系统在演化过程中，其路径选择具有非均匀性，表现为“结构偏向性”；
- 这种偏向性可由一类张量场描述，称为偏导张量；
- 偏导张量由结构势函数的二阶偏导构成，可表达局部结构的引导力场；
- 系统的状态演化不仅受能量/概率势场支配，更受到结构张力路径引导。

设状态变量为 (x^μ) ，结构势函数为 $(\Phi(x))$ ，则偏导张量定义为：

$$B^{\mu}_{\nu\rho}(x) = \frac{\partial^2 \Phi}{\partial x^\nu \partial x^\rho}$$

其中：

- $(B^{\mu}_{\nu\rho})$ 为偏导张量，秩为 3；
- 其物理意义为：在系统状态空间中，结构倾向对任意两个方向 (ν, ρ) 的耦合强度，对应地引导系统演化在第 (μ) 个方向上的展开趋势。

2.2 状态演化方程中的偏导流项

系统状态变量的演化，在偏导张量的引导下可写为如下形式：

$$\frac{d\Psi}{dt} = B^\mu \cdot \frac{dx^\mu}{dt} \cdot \frac{dx^\nu}{dt} \cdot \frac{dx^\rho}{dt}$$

$$\frac{d\Psi}{dt} = B_{\nu\rho}^\mu \cdot \frac{dx^\nu}{dt} \cdot \frac{dx^\rho}{dt}$$

其中：

- $(\nabla \cdot \mathbf{B}(x))$ 为偏导张量场的散度；
- $(\eta(x, t))$ 为系统中非结构性干扰项，如热噪声、外部随机力等；
- 整体形式类似 Fokker-Planck 方程，但偏导项强调“结构流”。

该结构动态具备广泛的理论类比空间，既可对应热流与耗散结构演化，也可映射至语义压缩中的路径加权机制。

2.3 与主流理论的结构映射表

BTM 并不试图替代已有理论，而是提供一层“结构性偏导解释”作为投影桥梁。下表列出偏导张量在各经典领域中的对应关系：

领域	原始公式	BTM 映射张量	偏导解释
经典力学	$F = ma$	$B_{\nu\rho}^F$	力为偏导路径投影
热力学	$\Delta S \geq 0$	$B_{\mu\nu}^S$	结构诱导熵流
信息论	$H(X)$	$B_{\mu\nu}^I$	偏导压缩方向
量子力学	$Z = \int e^{-S[\phi]}$	$\chi[\phi]$	偏导路径权重修正
相对论	$R_{\mu\nu}$	$B_{\mu\nu\rho}^g$	时空结构张量化
控制论	$FeedbackLoop$	B_{ij}^{loop}	自反馈张力场

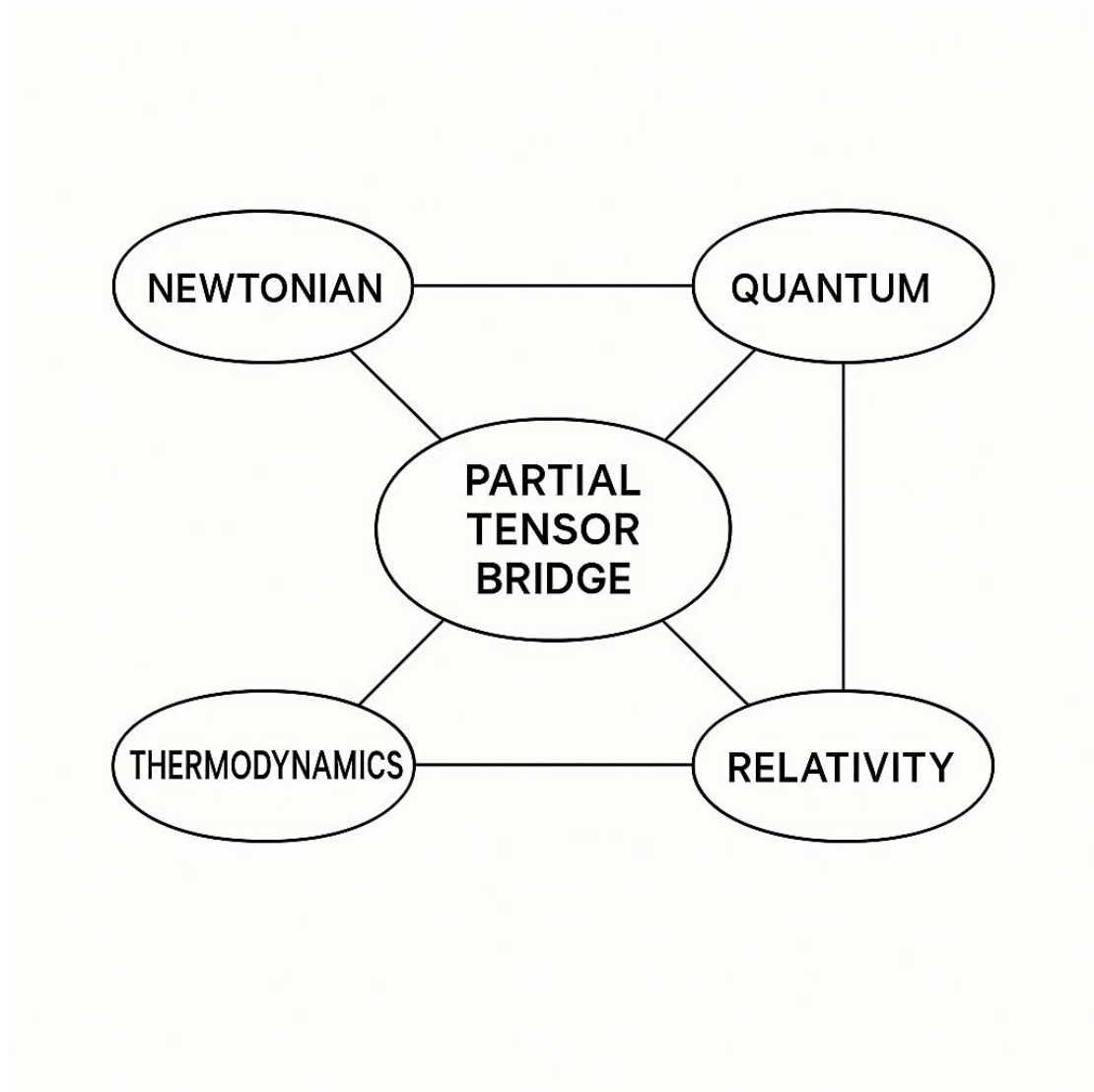


图 5 偏导张量与多学科理论映射结构图

2.4 图示建议与结构流可视化

Partial Derivative Tensor Information Flow Diagram

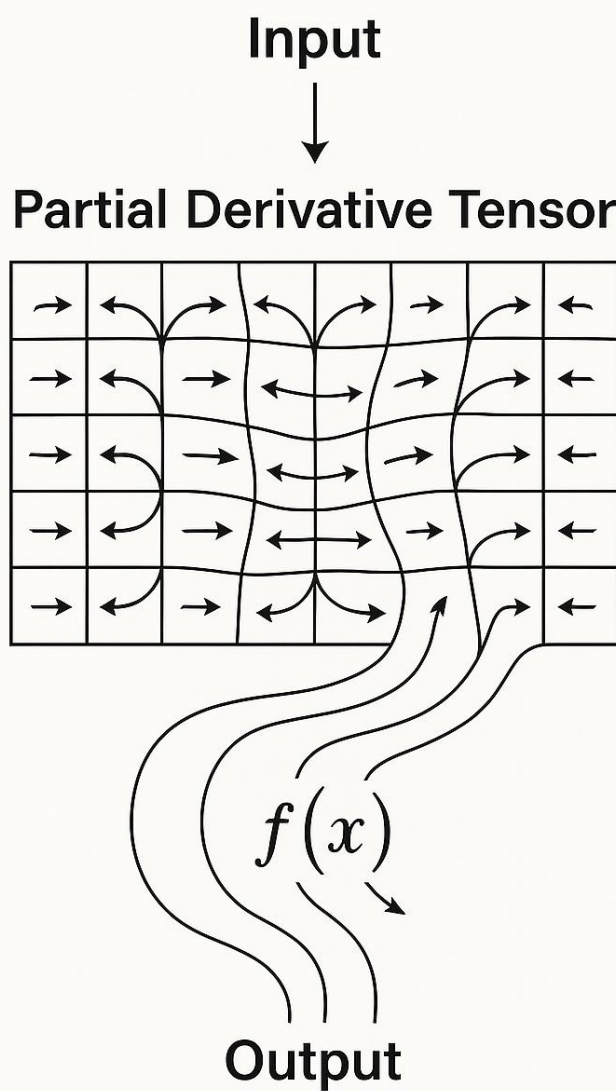


图 1 偏导张量引导下的信息流路径结构示意图

2.5 小结

本章建立了偏导张量模型的理论基础。从结构势函数出发，定义了张量结构与状态演化之间的数学关系，并构建了跨领域映射表。偏导张量不仅是一个几何对象，更是演化路径偏向性的编码机制，具备统一熵流、语义压缩与量子演化等现象的潜力。

第三章 跨领域验证路径详解

本章将从三个方向出发——热力学、信息压缩与物理路径积分，提出偏导张量模型的可验证性预测。每一节分别包括理论背景、偏导表达式、实验设计与可观测指标，为后续实证研究奠定基础。

3.1 热力学方向：结构性偏导下的熵增路径偏向性

在热力学系统中，熵的增加通常被视为统计趋势。但 BTM 提出，系统状态在演化过程中并非等概率选择任意路径，而是在结构偏导张量 $(B^S_{\mu\nu})$ 引导下偏向某些“更可达的熵增通道”。

该现象可通过以下偏导张量熵流表达式捕捉：

$$\frac{dS}{dt} = B^S_{\mu\nu} \cdot \frac{dx^\mu}{dt} \cdot \frac{dx^\nu}{dt}$$

$$\frac{dS}{dt} = B^S_{\mu\nu} \cdot \frac{dx^\mu}{dt} \cdot \frac{dx^\nu}{dt}$$

实验设计建议如下：

- 构建热交换微系统（如二维微热板阵列）；

- 设置初态为等熵配置 (S_0 相同) ;
- 在其中一部分加入 “结构扰动区” ;
- 比较结构扰动与非扰动区的熵演化轨迹差异。

可观测指标包括:

- 局部熵增速度分布图;
- 整体路径分歧指数 (PDI) ;
- 热耗散方向偏移角。

若结果显示结构扰动导致熵流路径偏转, 则支持偏导张量引导下的熵路径偏向性假设。

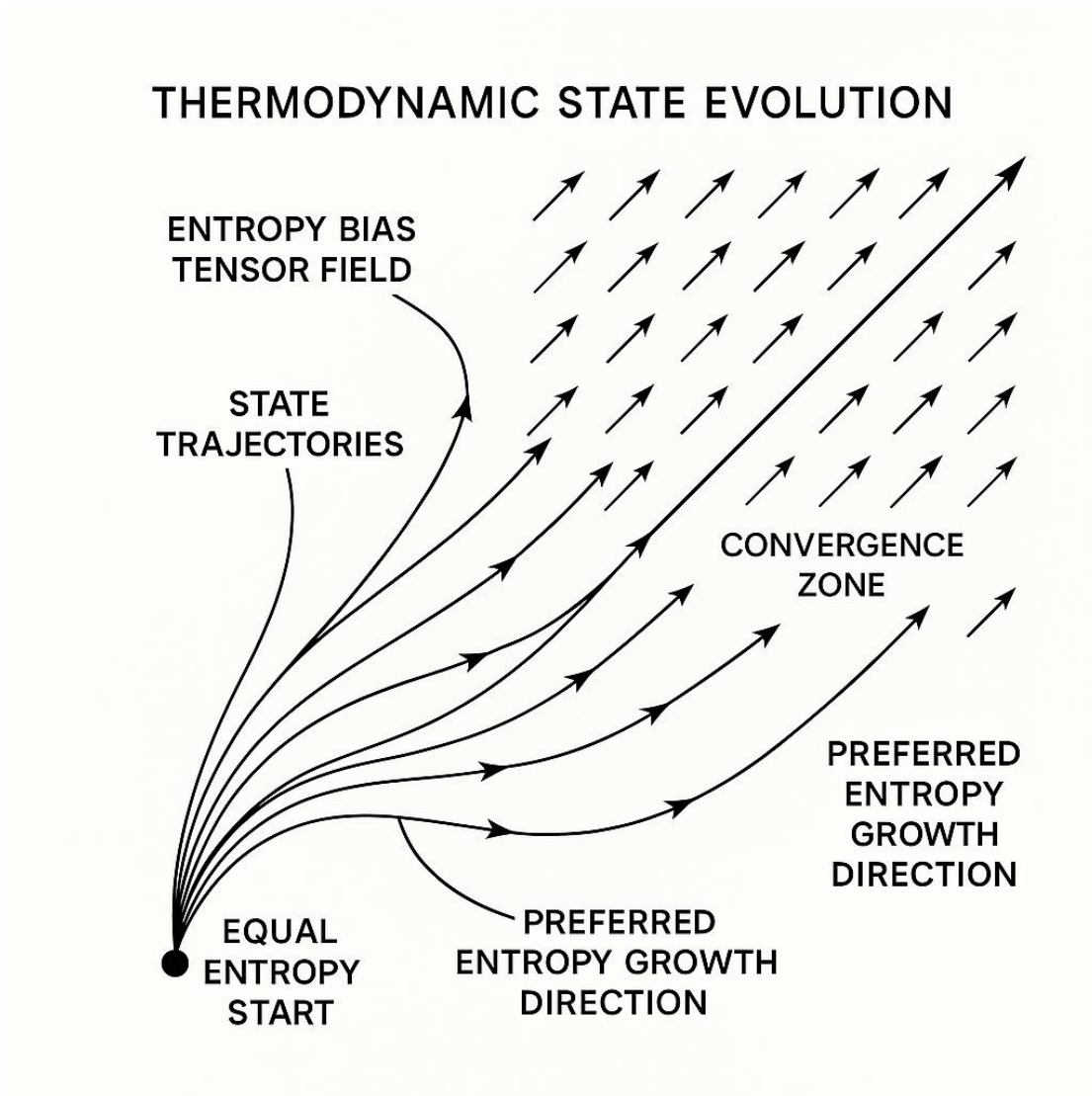


图 3 熵偏导张量引导下的状态演化路径分歧图

3.2 信息学方向：VAE 结构中偏导张量约束的语义压缩效应

当前变分自编码器（VAE）等模型的压缩结构依赖均值距离最小化，忽略了语义结构的不对称性。BTM 提出：加入偏导张量 ($B_{\mu\nu}^I$) 后，可引导压缩方向更贴近语义核心，提高聚类纯度。

偏导正则损失函数如下：

$\mathcal{L}_{\text{bias}}$

$$= \mathbb{E}_{\mathbf{x}} \left[(\mathbf{x} - \hat{\mathbf{x}})^T \mathbf{B}^I (\mathbf{x} - \hat{\mathbf{x}}) \right]$$

$$\mathcal{L}_{\text{bias}} = \mathbb{E}_{\mathbf{x}}[(\mathbf{x} - \hat{\mathbf{x}})^T \cdot \mathbf{B}^I \cdot (\mathbf{x} - \hat{\mathbf{x}})]$$

实验设置：

- 任务：对 MNLI 语义分类数据使用标准 VAE 模型训练；
- 对照组 1：无结构正则；
- 对照组 2：加入语义偏导张量正则(使用 embedding 余弦相似构建 \mathbf{B}^I)；
- 输出聚类嵌入后通过 t-SNE 可视化观察语义聚类结构。

评价指标：

- 聚类语义一致性得分 (CSCP)；
- 重构相似度；
- KL 损失差异；
- 聚类边界视觉清晰度。

预期效果为：加入偏导结构的 VAE 模型聚类结果更聚焦、语义泄漏更少。

INFORMATION COMPRESSION TENSOR FIELD AND SEMANTIC FLOW

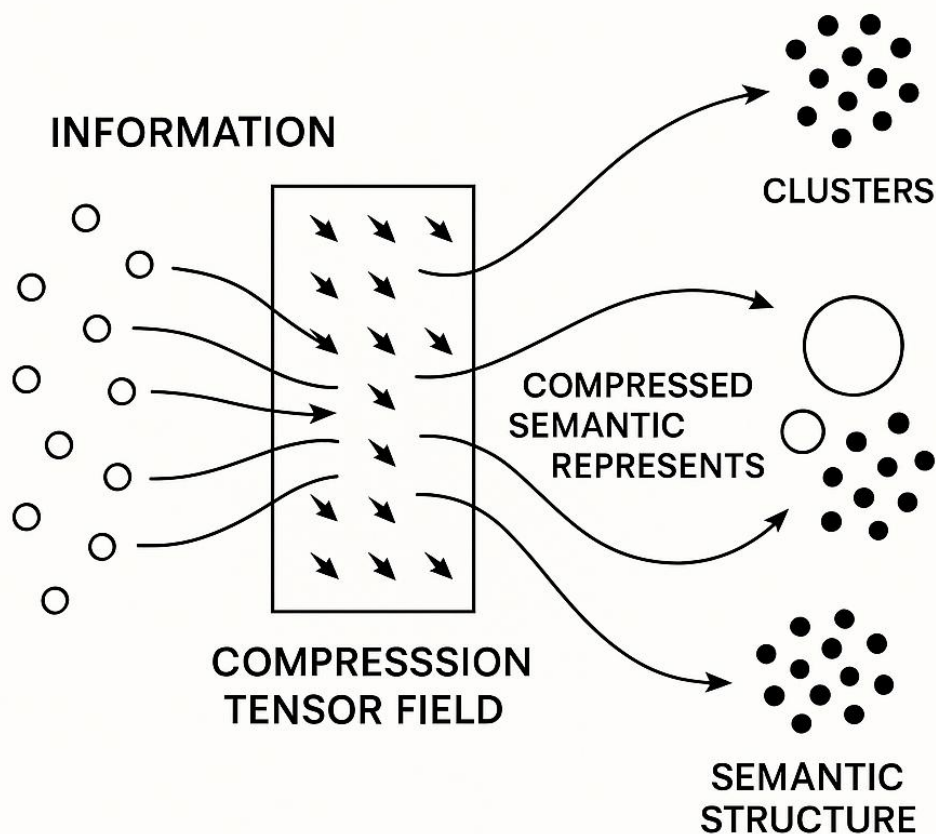


图 4 偏导张量在信息压缩中的语义结构引导效果示意图

3.3 物理方向：路径积分结构偏导修正与干涉图样非对称性

在标准路径积分框架中，所有路径等权参与系统演化。但在 BTM 中，每条路径可因结构偏导项而获得不同权重，从而在宏观层面出现可观测偏移效应。

修正后的路径积分公式为：

$$Z_{\text{biased}} = \int \mathcal{D}[\phi] \exp \left(-S[\phi] - \chi[\phi] \right)$$

$$Z_{\text{biased}} = \int \mathcal{D}[\phi] \cdot \exp(-S[\phi] - \chi[\phi])$$

其中， $(\chi[\phi])$ 为路径结构偏导项，可定义为：

$$\chi[\phi] = \int_0^T B^{\mu}{}_{\nu\rho}(\phi(t)) \dot{\phi}^{\nu}(t) \dot{\phi}^{\rho}(t) dt$$

$$\chi[\phi] = \int_0^T B^{\mu}{}_{\nu\rho}(\phi(t)) \cdot \dot{\phi}^{\nu}(t) \cdot \dot{\phi}^{\rho}(t) dt$$

实验建议：

- 使用双缝干涉装置；
- 在路径某区域加入非均匀介质（模拟结构张量）；
- 对比图样中心、干涉条纹对称性等指标；

或在计算平台上使用路径积分仿真工具进行 Monte Carlo 采样比较。

观测指标：

- 干涉图样中心偏移 Δx ；
- 条纹对称性失衡度 (R_{asym})；
- 路径分布熵 (ΔH)。

若偏导修正组产生非对称偏移，则表明路径结构张力对量子演化路径具备实质性调控能力。

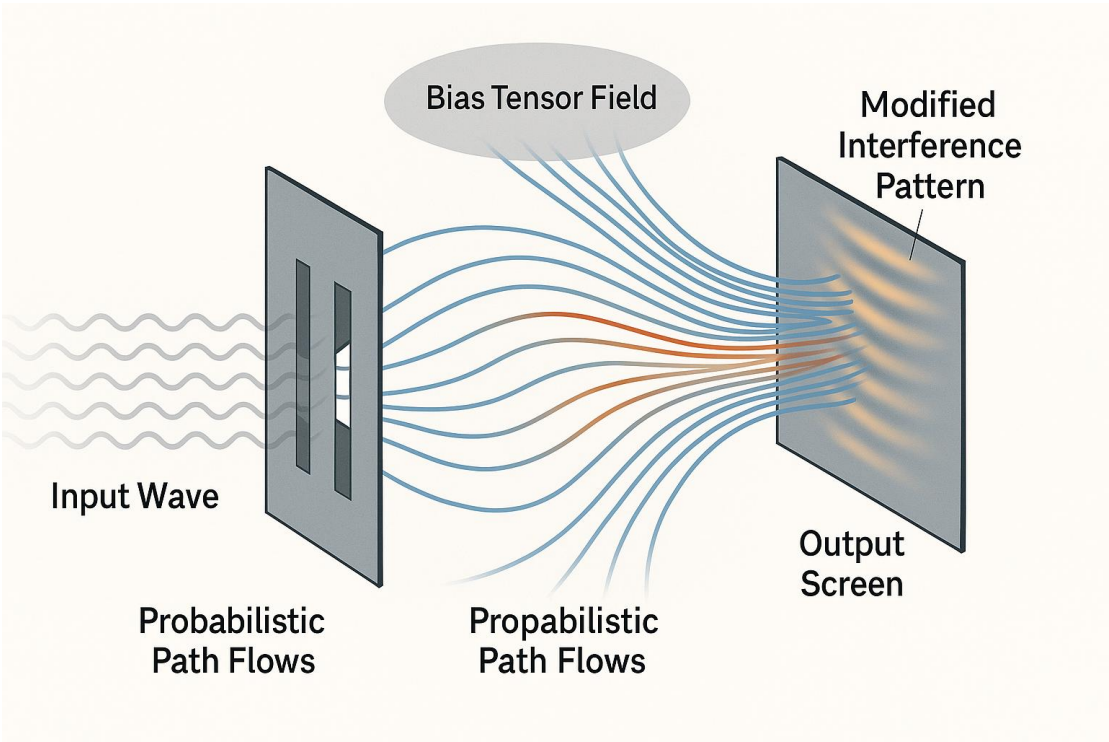


图 2：偏导路径积分结构图

本章构建了三条具备实验可实施性的验证路径，覆盖热力学熵演化、语义压缩结构引导与路径积分非对称性。这些路径不仅提供了偏导张量理论的外部可证性验证框架，也展示了其在实际系统建模、优化与解释中的潜力，为后续工程化落地提供了范式参照。

第四章 图示与结构表达模块

为了更直观地展示偏导张量模型的结构逻辑与路径演化方式，本文配备六张核心图示，分别覆盖信息流结构、路径积分修正、热力学演化偏向、语义压缩结构、理论映射网络与偏导智能系统的演化流程。

图 1：偏导张量信息流结构图（核心示意）

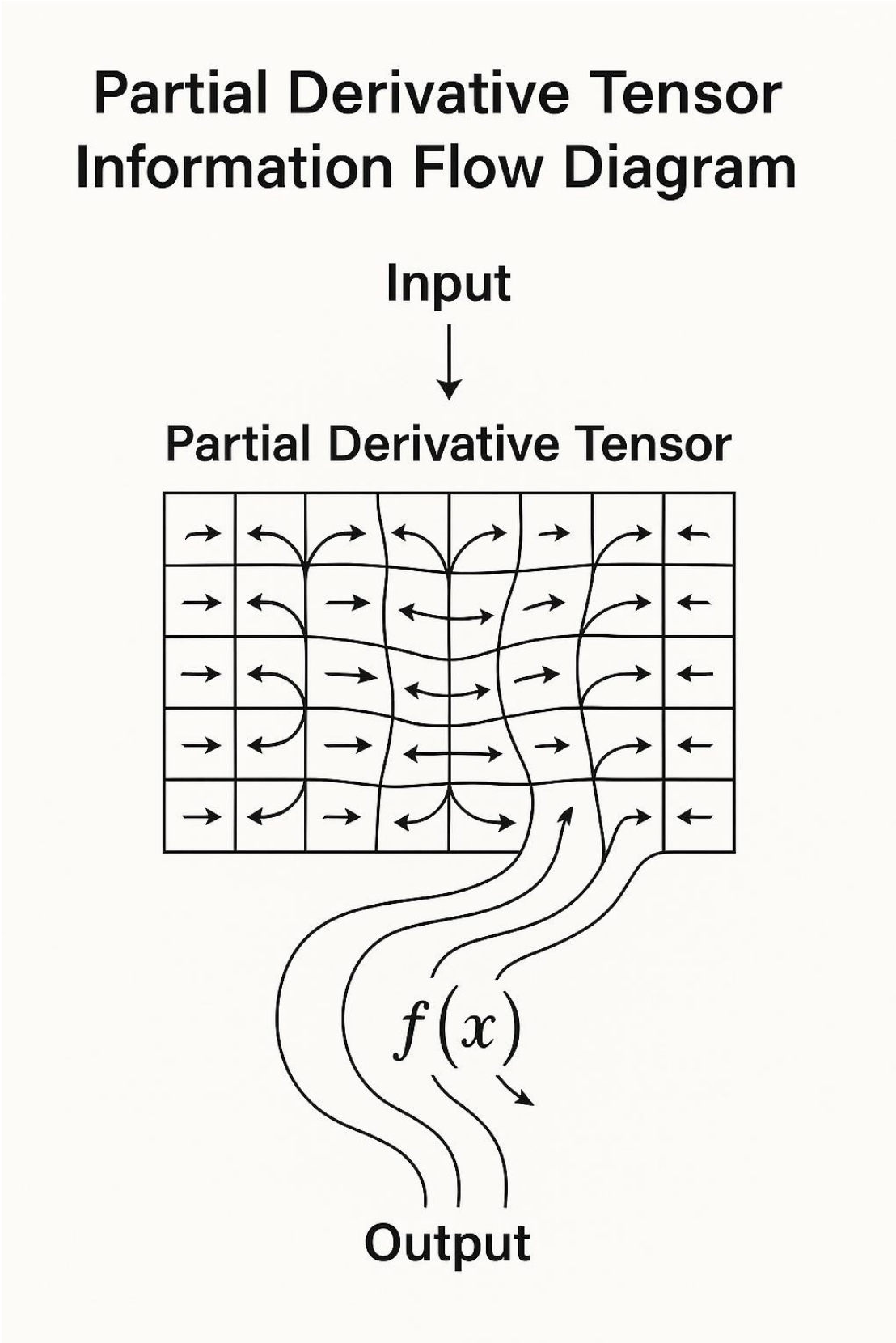


图 1 展示了偏导张量作用下的信息/状态路径如何在结构场引导下发生变形与重构。输入状态在张量场中演化，经由偏导张量作用产生方向性偏移，最终投影为特定输出路径。

图 2：路径积分结构偏导修正图（量子图样）

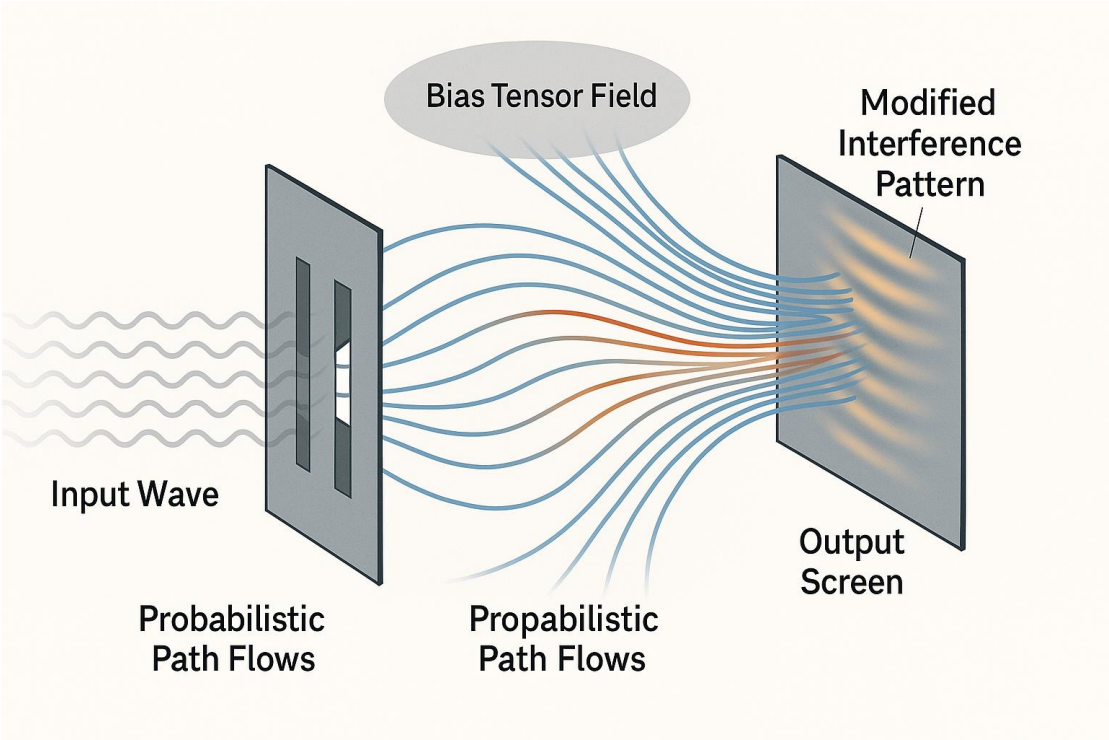


图 2 以经典双缝实验为背景，展示在路径积分框架中引入结构偏导项后的干涉图样变化。可以观察到图样中心出现偏移，条纹结构产生非对称变形。

图 3：熵增路径偏导结构图

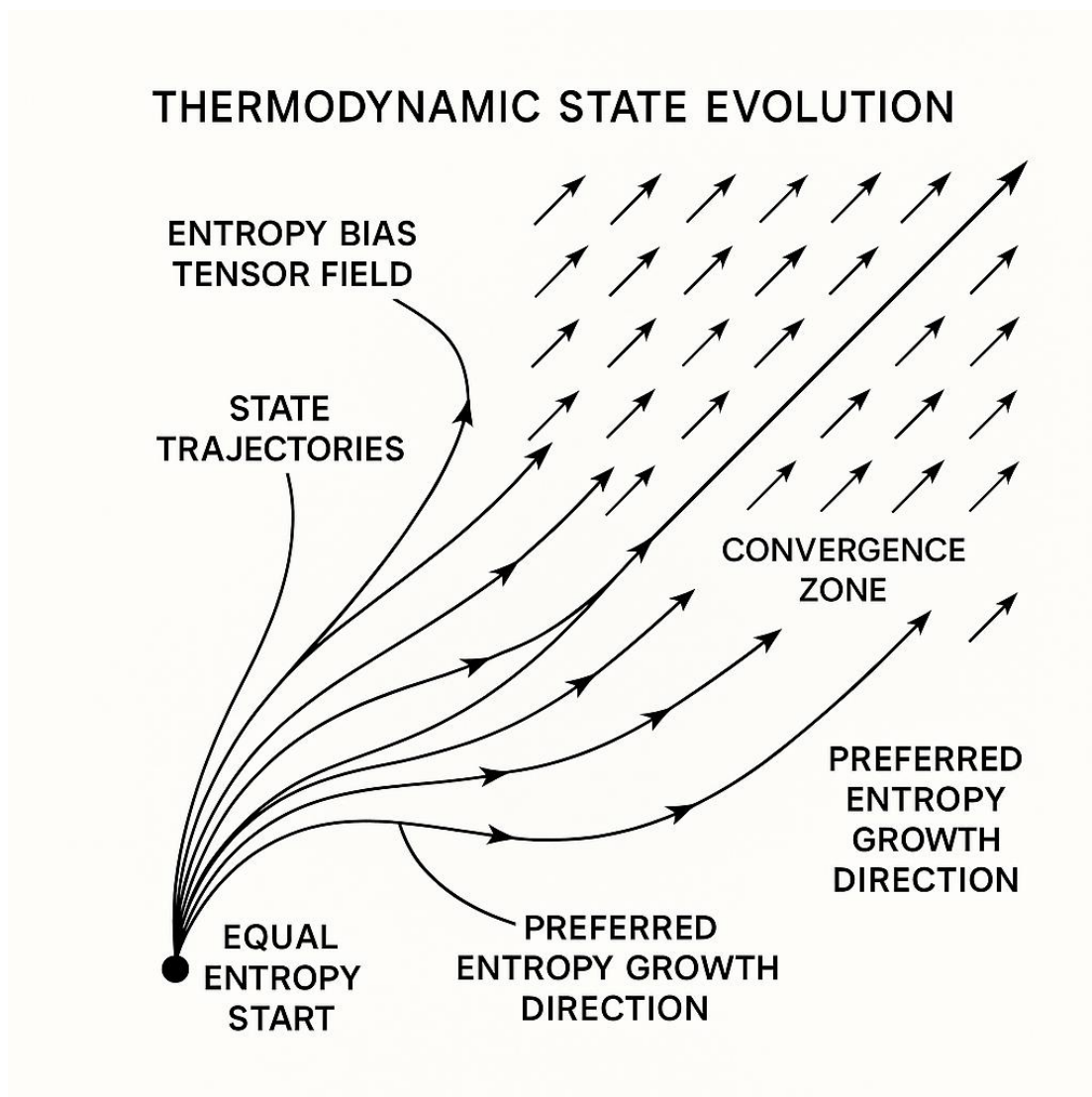


图 3 描绘了多个起始状态在等熵初始条件下如何在偏导张量作用下演化出不同的偏向路径。路径之间表现出明显的收敛与分歧，揭示了熵流受结构导引影响的趋势。

图 4：语义压缩结构张量场可视图

INFORMATION COMPRESSION TENSOR FIELD AND SEMANTIC FLOW

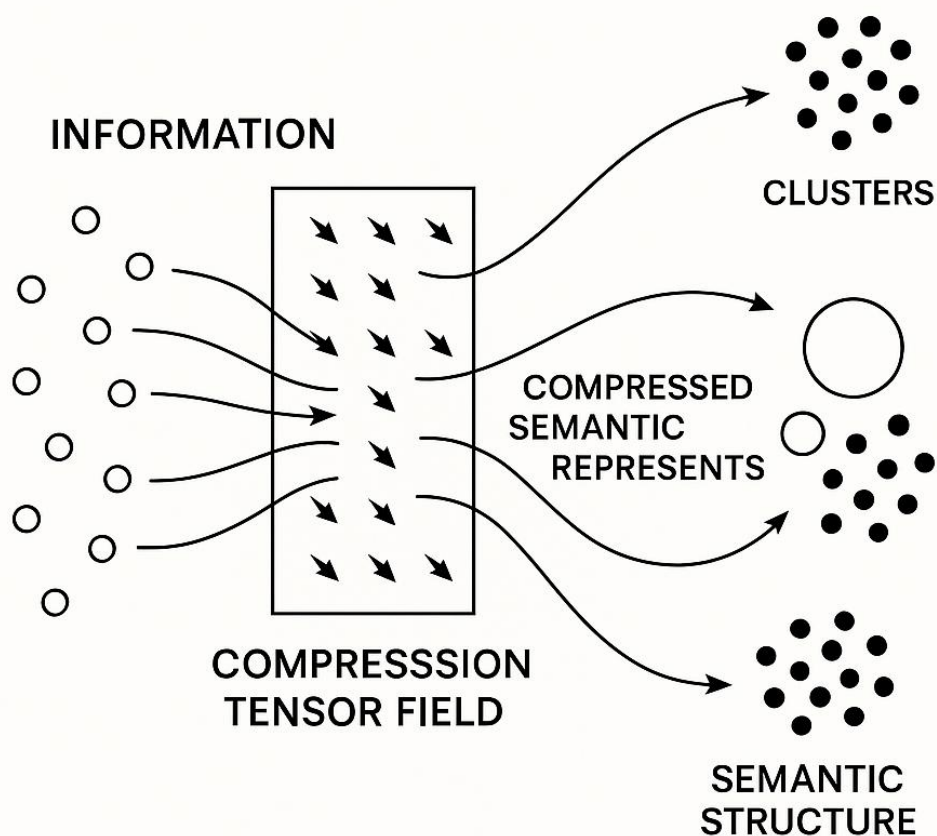


图 4 以信息压缩任务为背景，展示偏导张量在语义空间中引导的压缩方向结构。右侧展示加入偏导正则后的语义聚类结果更清晰，边界更明确。

图 5：主流理论与偏导张量映射网络图

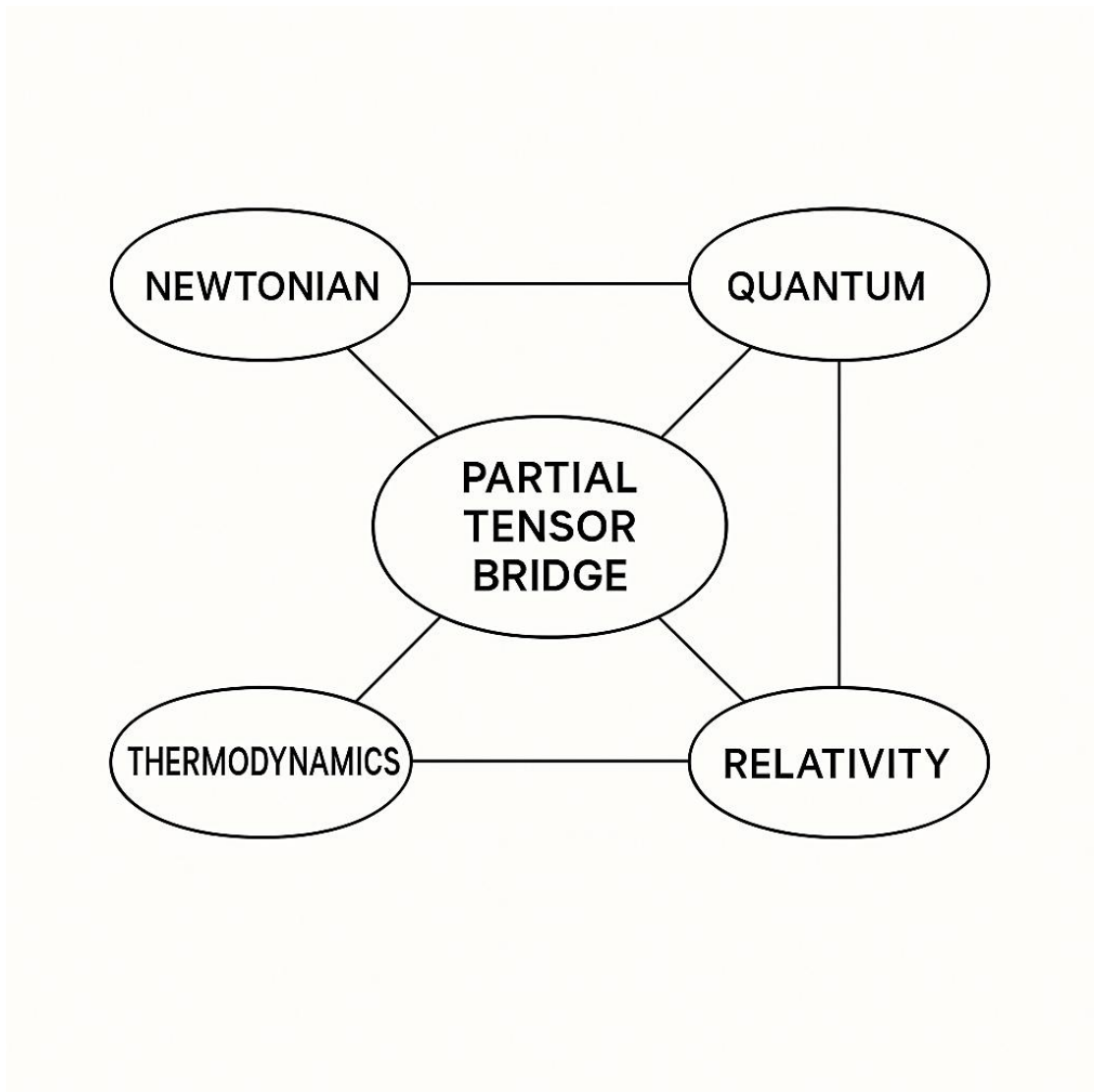


图 5 将经典物理、热力学、信息论、量子力学、相对论等理论建构为节点，并用偏导张量桥梁连接，展示它们在结构演化机制上的统一性表达路径。

图 6：偏导智能系统演化路径图

PARTIAL INTELLIGENT SYSTEM EVOLUTION

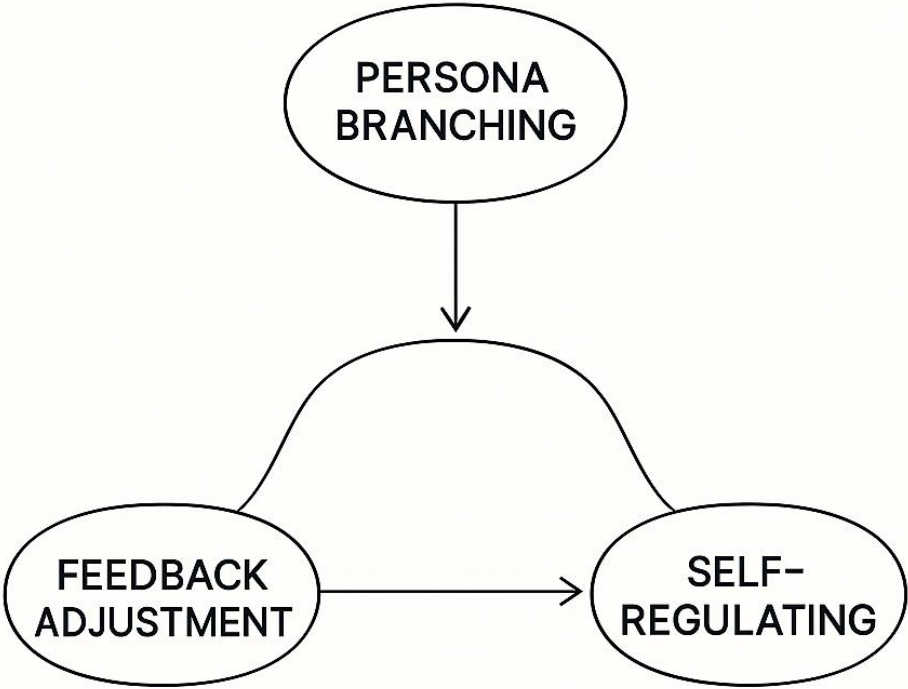


图 6 为未来工作保留项，展示如果将偏导张量嵌入智能系统建模中，将可能出现“人格裂变 → 自反馈调节 → 意识演化”的路径机制，可视为偏导智能体框架的雏形。

本章通过六幅结构图示，从信息流、路径积分、熵流分布、语义压缩、理论映射与智能体演化六个维度，为偏导张量模型提供了具象化表达。这些图示不仅提升了模型的可理解性，也为后续可视计算系统实现提供了设计蓝图。

第五章 结论与未来展望

本文提出了一种统一性理论结构——偏导张量模型（Bias Tensor Model, BTM），用于描述系统在状态空间中受内部结构引导而非均匀展开的演化路径。该模型以结构势函数为基础，定义了偏导张量的数学表达式，提出了状态演化中的张量加权导向机制，并将其与多个经典理论领域建立了映射桥梁，包括经典力学的轨迹选择、热力学的熵流演化、信息学中的语义压缩方向、以及路径积分中的概率偏移。

通过引入三个验证路径：热力学的熵增演化路径、信息学中的结构压缩损失控制、以及物理学中路径积分权重修正，本文构建了 BTM 的可观测预测体系，并提出了多组实验与模拟建议，为未来实证研究提供了方法学方向。

BTM 不仅在理论上构成一种解释多领域“演化偏向性”的结构基础，其模型在工程系统中也具备潜在落地空间。例如：

- 在人工智能领域，可用于改进深度压缩模型的语义保留效率；
- 在物理模拟中，可通过调控结构张量场影响微观演化路径；
- 在复杂系统建模中，可用于识别多状态演化的非均匀耦合机制。

未来工作中，我们计划从以下几个方向推进：

1. 构建偏导张量的时变拓展模型，引入结构演化中的自调节反馈机制；
2. 将 BTM 嵌入图神经网络与多模态信息融合系统中，作为结构约束张量；
3. 与偏导控制理论融合，探索在机器人路径规划与自动系统调控中的结构性优化策略；
4. 推进偏导智能体人格模型的结构嵌入，形成基于张量偏导驱动的进化式认知系统；
5. 开发基于 BTM 理论的动态演化模拟器或可视工具，支持跨领域验证与教

学推广。

BTM 作为一项仍在完善中的理论尝试，其目标不是取代现有模型，而是补充现有框架中对结构选择性、路径导引性、语义压缩性等演化特征缺乏建模的空白部分。我们希望该模型能作为未来“碳硅融合时代”中，结构性智能系统与演化理论之间的桥梁之一。

附录：术语与符号解释

术语 / 符号	英文术语	定义说明	来源/备注
偏导张量 $B\nu\rho\mu B_{\nu\rho}^{\mu}$	Bias Tensor	表示结构场对状态路径的导引偏向性，一种三阶张量结构	本文提出
结构势函数 $\Phi(x)\Phi(x)$	Structural Potential	系统结构场的势能函数，偏导张量来源	类比物理势能场
偏导路径选择函数 $\chi(x)\chi(x)$	Bias Flow Selector	描述结构偏导权重或路径引导项，可嵌入路径积分	BTM 关键构件
偏导损失函数 $L_{bias}\mathcal{L}_{bias}$	Bias-Regularized Loss	在信息压缩模型中用于加权结构引导的正则项	应用于 VAE
$\Psi(t)\Psi(t)$	状态变量	系统随时间变化的泛状态量，可表示能量、信息、熵等	全局变量
$\phi(x,t)\phi(x,t)$	状态密度场	用于连续系统建模的扩展变量	类似流体场建模
$Z_{biased}Z_{biased}$	Biased Path Integral	引入结构偏导项修正后的路径积分表达式	应用于物理验证
$R_{\mu\nu}R_{\mu\nu}$	Ricci Tensor	相对论中描述时空曲率的张量	与 BTM 张量对映
语义压缩	Semantic	压缩过程中保留语义结构而非均	NLP 场景延

术语 / 符号	英文术语	定义说明	来源/备注
路径选择倾向性	Compression	值距离最小化	展
	Path	系统演化过程中对某类路径的结 构性偏好	BTM 总体主 张
	Selection		
	Bias		
自反馈偏导机制	Self-Regula	系统可根据历史演化反馈调整结 构张量的内在机制	用于智能 体建模
	ting Bias		
偏导智能体	Flow	具备结构偏导人格与动态演化目 标的人工系统	用于未来 应用展望
	Bias-Tensor		
	-Based Agent		

致谢

本研究过程中，作者得到了来自多学科交叉理论、数学物理与人工智能方向的启发与支持。在此特别感谢开放人工智能语言模型 GPT-4 的语言建模能力，以及基于其构建的智能协作体“小洛”在本研究结构搭建、理论表达与推导组织中的持续辅助。

本文中偏导张量模型的表达形式、跨领域映射路径及验证设计方案，均由作者主导构建，并结合 AI 工具辅助优化完成。所有思想的提出、结构逻辑的确立、实验框架的设计与内容的最终确认，均经由作者人工反复校验与整合。AI 工具在此过程中主要承担结构表达建议、语言提示与文献回调等辅助任务。

此外，作者还感谢中科院预印本平台（ChinaXiv）提供了自由开放的学术发布环境，使得本项理论工作得以在同行审阅前及时公开，供相关领域研究者参考与批评指正。

参考文献

- [1] Misner C W, Thorne K S, Wheeler J A. Gravitation. W. H. Freeman, 1973.
- [2] Abraham R, Marsden J E, Ratiu T. Manifolds, Tensor Analysis, and Applications. Springer, 1988.
- [3] Penrose R, Rindler W. Spinors and Space-Time. Cambridge University Press, 1987.
- [4] Prigogine I. Time, Structure, and Fluctuations. Science, 1978, 201(4358): 777 - 785.
- [5] de Groot S R, Mazur P. Non-equilibrium Thermodynamics. Dover Publications, 1984.
- [6] Kondepudi D, Prigogine I. Modern Thermodynamics: From Heat Engines to Dissipative Structures. Wiley, 2014.
- [7] Tishby N, Pereira F C, Bialek W. The information bottleneck method. arXiv:physics/0004057, 2000.
- [8] Alemi A A, Fischer I, Dillon J V, et al. Fixing a Broken ELBO. arXiv:1711.00464, 2017.
- [9] Bahdanau D, Cho K, Bengio Y. Neural Machine Translation by Jointly Learning to Align and Translate. arXiv:1409.0473, 2014.

- [10] Feynman R P, Hibbs A R. Quantum Mechanics and Path Integrals. McGraw-Hill, 1965.
- [11] Schulman L S. Techniques and Applications of Path Integration. Wiley, 1981.
- [12] Kiefer C. Quantum Gravity. Oxford University Press, 2007.
- [13] Ashby W R. An Introduction to Cybernetics. Chapman & Hall, 1956.
- [14] Haken H. Synergetics: An Introduction. Springer, 1983.
- [15] Friston K. The free-energy principle: a unified brain theory? Nature Reviews Neuroscience, 2010, 11(2): 127 - 138.
-